

基于[1,2,4]-三唑衍生物的两个镉(II)配合物的结构与光谱学表征

王大伟^{1,2} 王滔¹ 闫桐¹ 杜琳¹ 赵琦华^{*,1}

(¹ 云南大学化学科学与工程学院, 昆明 650091)

(² 西南林业大学教务处, 昆明 650224)

摘要: 合成了2个新的镉(II)配合物 $\{[\text{Cd}(\text{Htta})_2(\text{H}_2\text{O})_2]\cdot 2\text{H}_2\text{O}\}_n$ (**1**)和 $[\text{Cd}(\text{tba})_2(\text{H}_2\text{O})_4]$ (**2**)($\text{H}_2\text{tta}=2-[1,2,4]-\text{三唑对苯二甲酸}, \text{Htba}=3-[1,2,4]-\text{三唑苯甲酸}$), 配合物分子结构经X射线单晶衍射分析确认。对配合物**1**和**2**进行了X射线粉末衍射、红外光谱、紫外光谱和固体荧光光谱表征。X射线单晶衍射测试表明, 配合物**1**为一维双链高分子聚合物, **2**为单核零维配合物, 中心镉(II)离子均采取六配位八面体配位构型。配合物**1**通过分子间丰富的氢键作用进一步组装成三维超分子结构, 配合物**2**则通过分子间氢键和 $\pi-\pi$ 堆积作用组装成三维超分子结构。固体荧光光谱显示, 配合物**1**和**2**分别在437和357 nm处有强的荧光发射峰。

关键词: 镉(II)配合物; 三唑; 单晶结构; 光谱

中图分类号: O614.24⁺² 文献标识码: A 文章编号: 1001-4861(2017)08-1443-07

DOI: 10.11862/CJIC.2017.185

Crystal Structures and Spectroscopic Characterizations of Two Cd(II) Complexes Based on [1,2,4]-triazole Derivatives

WANG Da-Wei^{1,2} WANG Tao¹ YAN Tong¹ DU Lin¹ ZHAO Qi-Hua^{*,1}

(¹School of Chemical Science and Technology, Yunnan University, Kunming 650091, China)

(²Office of Academic Affairs, Southwest Forestry University, Kunming 650224, China)

Abstract: Two new complexes $\{[\text{Cd}(\text{Htta})_2(\text{H}_2\text{O})_2]\cdot 2\text{H}_2\text{O}\}_n$ (**1**) and $[\text{Cd}(\text{tba})_2(\text{H}_2\text{O})_4]$ (**2**) ($\text{H}_2\text{tta}=2-[1,2,4]-\text{Triazol-1-yl-terephthalic acid}, \text{Htba}=3-[1,2,4]-\text{triazol-1-yl-benzoic acid}$) have been synthesized and structurally characterized by single-crystal X-ray diffraction. Powder X-ray diffraction, IR, UV and luminescence properties of complexes **1** and **2** were also determined. Single crystal X-ray diffraction shows that complex **1** is a 1D double chain coordination polymer with a six coordinated central Cd(II) ion in octahedral coordination geometry, while **2** is a six coordinated mononuclear complex. For complex **1**, 3D supramolecular framework is constructed by intermolecular hydrogen bonds between different chains, while complex **2** is further extended into 3D framework via intermolecular hydrogen bonds and $\pi-\pi$ stacking interactions. The solid state luminescence spectra of **1** and **2** show strong emission bands centered at 437 and 357 nm, respectively. CCDC: 1537384, **1**; 1537385, **2**.

Keywords: Cd(II) complex; triazole; single-crystal structure; spectrum

金属-有机配位聚合物(CPs)因具有多样化的拓扑结构和良好的理化性能, 在众多领域得到广泛应用, 也成为近10多年来研究的热点。例如, 在磁性材料^[1]、气体存储与分离^[2]、非线性发光^[3]、均相催

化^[4,5]等方面展现出重要的应用前景。非共价键相互作用(non-covalent interaction)对晶体在空间内的堆积产生深远的影响, 因而在一定程度上决定了晶体的结构, 并影响着晶体的物理性能和化学性质。非

收稿日期: 2017-03-15。收修改稿日期: 2017-05-22。

国家自然科学基金(No.21371151, 21461029, 21561033)和云南省重点实验室开放基金(No.ZK150007)资助项目。

*通信联系人。E-mail: qhzao@ynu.edu.cn

共价键相互作用在配位化合物分子构筑成更高维度的超分子过程中具有重要的作用,其中研究最多的是分子间氢键和 π - π 堆积作用^[6-8]。然而,作为另一类非共价键相互作用,晶体中带电正负离子之间的相互作用也会对晶体的空间堆积产生重要的影响^[9-10]。三氮唑类有机分子及其带有不同配位取代基的衍生物具有多种配位模式,适合于构筑结构新颖的配位聚合物^[11-12]。其中,刚性的[1,2,4]-三氮唑苯甲酸类配体因灵活多变的配位方式而越来越受到研究者的重视,该类配合物在CO₂气体选择性吸附和非线性发光等领域性质卓越^[13-14]。

镉(II)离子为d¹⁰电子结构,它与具有共轭体系的有机配体形成的配合物通常具有良好的荧光特性^[15-17]。本文以刚性的2-[1,2,4]-三唑对苯二甲酸(H₂tta)和3-[1,2,4]-三唑苯甲酸(Htba)为配体与镉(II)离子成功构筑出2个配合物{[Cd(Htta)₂(H₂O)₂]·2H₂O}_n(1)和[Cd(tba)₂(H₂O)₄](2),配合物1和2通过分子间非共价键弱作用力进一步堆积成三维超分子结构。另外,还对配合物1和2进行了红外光谱、紫外光谱和固体荧光光谱表征。

1 实验部分

1.1 试剂和仪器

所用试剂均为市售分析纯。单晶结构采用Bruker SMART APEX II CCD型X射线单晶衍射仪测定(Mo K α , $\lambda=0.071\text{073 nm}$);X射线粉末衍射使用Bruker D8 Advance型X射线衍射仪测定(Cu K α , $\lambda=0.154\text{056 nm}$),在2 θ 为5°~50°范围内收集数据,扫描电压35 kV,电流50 mA;元素分析使用Elementar Vario EL III型有机元素分析仪测试。红外光谱用KBr压片法,在FTS-400型傅立叶变换光谱仪上测试,波长范围4 000~400 cm⁻¹;紫外光谱用北京普析TU-1901型双光束紫外可见分光光度计扫描;固体荧光光谱在室温下使用Hitachi F-4500型荧光分光光度计测定。

1.2 配合物的合成

1.2.1 {[Cd(Htta)₂(H₂O)₂]·2H₂O}_n(1)的合成

在25 mL圆底烧瓶中分别加入42 mg Cd(ClO₄)₂·6H₂O(0.1 mmol)和22 mg配体H₂tta(0.1 mmol),以1 mL去离子水和10 mL CH₃OH为溶剂,在100 °C加热回流2 h。过滤,滤液常温下静置挥发,3 d后有无色块状晶体析出,产率49%(基于配体)。元素分析按C₂₀H₂₀CdN₆O₁₂计算理论值(%):C 37.02,H 3.11,N 12.95;实测值(%):C 36.96,H 3.15,N 12.92;IR(KBr,cm⁻¹):3 312(br),3 150(m),1 630(s),1 589(s),1 553(s),1 410(s),1 340(s),1 155(m),989(m),771(s)。

1.2.2 [Cd(tba)₂(H₂O)₄](2)的合成

在15 mL耐压玻璃反应瓶中分别加入31 mg Cd(NO₃)₂·4H₂O(0.1 mmol)和19 mg配体Htba(0.1 mmol),以2 mL DMF和3 mL去离子水为溶剂,在室温下搅拌15 min后,将反应瓶放入120 °C烘箱反应48 h,缓慢降温至室温,有大量无色粗针状晶体析出,产率79%(基于配体)。元素分析按C₁₈H₂₀CdN₆O₈计算理论值(%):C 38.55,H 3.59,N 14.99;实测值(%):C 38.53,H 3.62,N 14.92;IR(KBr,cm⁻¹):3 277(br),3 117(m),1 558(s),1 364(s),987(m),768(s)。

1.3 晶体结构测定与解析

选取尺寸为0.26 mm×0.24 mm×0.20 mm(1)和0.30 mm×0.25 mm×0.18 mm(2)的配合物单晶,采用Bruker SMART APEX II CCD单晶衍射仪,分别在293(2)和296(2) K下以石墨单色化的Mo K α 射线($\lambda=0.071\text{073 nm}$)作为入射光源,以 φ - ω 扫描方式收集衍射数据。利用SAINT(Bruker 2007)软件对所收集的数据进行还原和原始晶胞参数校正^[18]。使用SHELXS-97和SHELXL-2014/7软件进行单晶数据的解析和结构精修^[19-20],化合物初始结构模型的非氢原子由直接法得到,并采用全矩阵最小二乘法对化合物结构的原子坐标和各向异性参数进行精修,所有氢原子由理论加氢得到。配合物1和2的晶体学和精修参数见表1,部分键长和键角参数见表2。

CCDC:1537384,1;1537385,2。

2 结果与讨论

2.1 晶体结构解析

2.1.1 {[Cd(Htta)₂(H₂O)₂]·2H₂O}_n(1)的晶体结构

X射线单晶衍射分析表明,配合物1的中心Cd(II)离子处于6配位的畸变八面体配位环境CdN₂O₄(图1),2个N原子来自2个不同Htta⁻配体的三氮唑基团,Cd1-N3键长为0.230 5 nm;2个O原子来自另外2个Htta⁻配体的羧基O原子,Cd1-O2键长为0.227 9 nm;另外2个O原子来自配位的水分子,Cd1-O5键长为0.236 7 nm。另外,每个不对称单元中还有1个游离水分子。每个Htta⁻配体都以[1,2,4]-三氮唑4号位的N3原子与1个Cd(II)离子配位,苯环上处于三氮唑邻位的羧基以其中1个O原子与第2个Cd(II)离子配位,而苯环上处于三氮

表 1 配合物 1 和 2 的晶体学和精修参数
Table 1 Crystallographic and structure refinement data for 1 and 2

	1	2
Empirical formula	C ₂₀ H ₂₀ CdN ₆ O ₁₂	C ₁₈ H ₂₀ CdN ₆ O ₈
Formula weight	648.8	560.80
Crystal system	Triclinic	Orthorhombic
Space group	P <bar{1}< td=""><td>Pbca</td></bar{1}<>	Pbca
a / nm	0.668 88	0.685 64
b / nm	0.724 79	1.328 46
c / nm	1.238 27	2.247 8
α / (°)	79.141	90
β / (°)	88.279	90
γ / (°)	83.734	90
Volume / nm ³	0.586 01	2.047 4
Z	1	4
D _c / (g·cm ⁻³)	1.839	1.819
F(000)	326	1 128
Unique data (R _{int})	1 968 (0.017 4)	2 549 (0.036 3)
Restraint, parameter	0, 182	0, 167
Final R indices [I>2σ(I)]	R ₁ =0.020 9, wR ₂ =0.049 9	R ₁ =0.021 7, wR ₂ =0.054 1
Goodness-of-fit on F ²	1.057	1.128
Largest diff. peak and hole / (e·nm ⁻³)	350, -300	570, -660

表 2 配合物 1 和 2 的部分键长(nm)和键角(°)
Table 2 Selected bond lengths (nm) and bond angles (°) for complexes 1 and 2

1					
Cd(1)-O(2) ⁱ	0.227 9(13)	Cd(1)-O(5)	0.236 7(17)	Cd(1)-N(3)	0.230 5(17)
O(2) ⁱ -Cd(1)-O(5)	84.30(6)	O(2) ⁱⁱ -Cd(1)-N(3)	90.23(6)	N(3)-Cd(1)-O(5)	91.09(6)
O(2) ⁱⁱ -Cd(1)-O(5)	95.70(6)	O(2) ⁱ -Cd(1)-N(3)	89.77(6)	N(3) ⁱⁱⁱ -Cd(1)-O(5)	88.91(6)
2					
Cd(1)-O(3)	0.233 3(11)	Cd(1)-O(4)	0.228 5(11)	Cd(1)-N(3)	0.228 5(13)
O(4)-Cd(1)-N(3)	89.75(4)	O(4)-Cd(1)-O(3)	87.91(4)	N(3)-Cd(1)-O(3)	91.16(4)
O(4)-Cd(1)-N(3) ⁱ	90.25(4)	O(4)-Cd(1)-O(3) ⁱ	92.09(4)	N(3) ⁱ -Cd(1)-N(3)	180

Symmetry codes: ⁱ -x, -y, 1-z; ⁱⁱ x, -1+y, z; ⁱⁱⁱ -x, -1-y, 1-z for 1; ⁱ -x, 1-y, -z for 2

唑间位的羧基由于空间距离和位阻的原因没有参与配位。刚性的 Htta⁻配体以 μ₂ 桥联方式连接 2 个 Cd(II)离子，使配合物拓展成一维双链高分子结构(图 2)，链上相邻 2 个 Cd(II)离子之间的距离为 0.724 8 nm。如图 3 所示，配合物 1 分子中含有羧基氧原子、配位水和游离水，在相邻分子之间形成了 5 种不同键长的 O-H…O 型氢键，氢键的键长和键角参数见表 3。在配合物 1 的晶体中，相邻的一维链通过分子间氢键连接起来，在空间内拓展成三维网状

超分子结构(图 3)。

2.1.2 [Cd(tba)₂(H₂O)₄] (2) 的晶体结构

配合物 2 的分子结构见图 4，中心 Cd(II)离子为 6 配位(CdN₂O₄)八面体配位构型。配体 tba⁻以[1,2,4]-三氮唑的 4 号位 N 原子与金属 Cd(II)配位，Cd1-N3 键长为 0.228 5 nm；Cd(II)离子还与 4 个水分子配位，Cd1-O3 和 Cd1-O4 的键长分别为 0.233 3 和 0.228 5 nm。有趣的是，配体 Htba 的羧基已经去质子化，但没有与 Cd(II)离子配位，而 4 个 H₂O 分子则

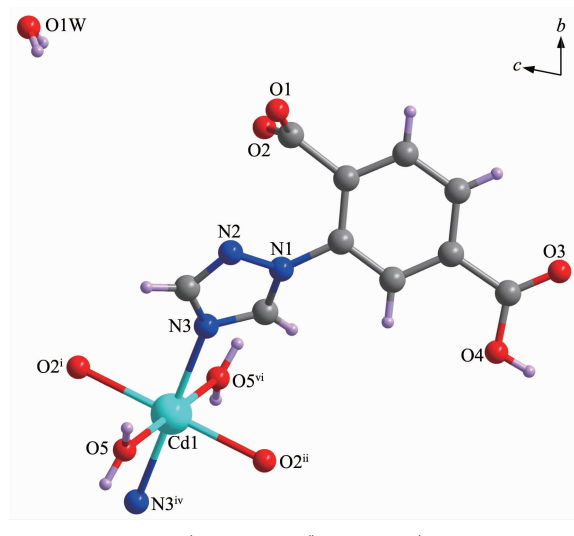


图1 配合物1中Cd(II)离子的配位环境

Fig.1 Coordination environment of Cd(II) ion in complex 1

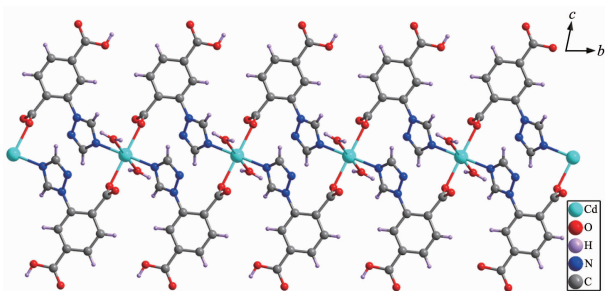


图2 配合物1的一维链状结构

Fig.2 1D chain structure of complex 1

优先与中心 Cd(II) 离子配位。原因可能是, 处于间位的 COO⁻由于空间位置的关系无法与 Cd(II) 离子形成配位键。配合物 2 分子的特点是分子内正负电荷分布在 3 个点上, 即 2 个正电荷集中在中心 Cd(II) 上, 2

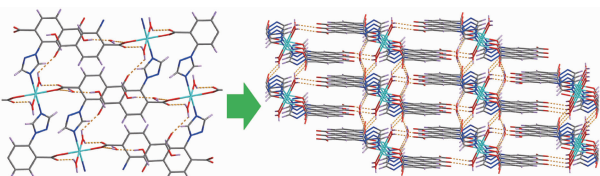


图3 配合物1分子间氢键作用和由氢键构筑的三维超分子结构

Fig.3 Intermolecular hydrogen bonding interaction and 3D supramolecular frameworks of 1 constructed by hydrogen bonds

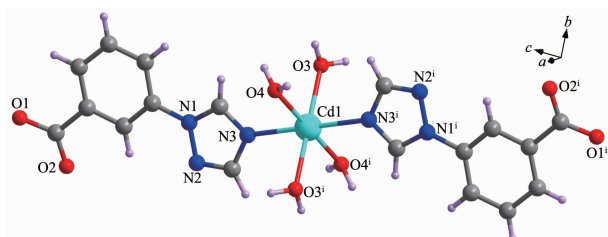


图4 配合物2中Cd(II)离子的配位环境

Fig.4 Coordination environment of Cd(II) ion in complex 2

个负电荷则分别分布在两端的羧基负离子上。这样的电荷分布可能会对配合物分子在空间内的堆积产生影响,Cd(II) 离子与周围 COO⁻负离子的最小距离为 0.399 5 nm(O⁻…Cd)。

配合物 2 分子中的 4 个配位水分子和 2 个未配位的羧基负离子使分子间形成了 4 种不同键长的 O-H…O 型氢键(氢键参数见表 3), 这些氢键均以配位水分子为氢供体, 以羧基氧原子为氢受体, 而且每个羧基分别与 3 个不同方向的水分子形成氢键(图 5)。如图 6 所示, 配体 tba⁻的苯环(Cg6)与

表3 配合物1和2的氢键参数

Table 3 Structural parameters of hydrogen bonds for complexes 1 and 2

D-H…A	<i>d</i> (D-H)/nm	<i>d</i> (H…A)/nm	<i>d</i> (D…A)/nm	\angle DHA/(°)
1				
O4-H4…O1W	0.082	0.176 2	0.257 3	169.76
O5-H5A…O1	0.085	0.218 7	0.288 2	138.93
O5-H5B…O3	0.085	0.239 4	0.297 5	126.09
O1W-H1WA…O2	0.085	0.191 6	0.276 5	176.29
O1W-H1WB…O1	0.085	0.192 5	0.276 8	171.05
2				
O3-H3A…O1	0.080 7	0.196 5	0.276 8	173.01
O4-H4A…O2	0.084 8	0.190 7	0.274 4	169.06
O4-H4B…O1	0.077 7	0.197 7	0.274 7	171.01
O3-H3B…O1	0.085 5	0.191 6	0.277 0	177.11

之相邻的2个tba⁻的三唑五元环(Cg5)之间存在 π 电子体系的重叠,三唑五元环与相邻的2个苯环之间的中心距离分别为0.354 7和0.377 3 nm,两平面之间距离为0.333 8 nm,分子间 π - π 相互作用模式可简化为(\cdots Cg5 \cdots Cg6 \cdots Cg5 \cdots Cg6 \cdots)_n。分子间较强的 π - π 相互作用使配合物2分子在空间内呈现出层状交错堆积^[6]。配合物2通过分子间大量的O-H \cdots O氢键和 π - π 相互作用继续组装成稳定的三维超分子结构(图5)。

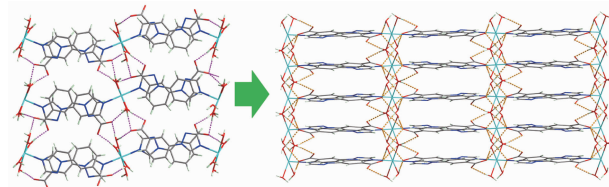


图5 配合物2分子间氢键作用和由氢键构筑的三维超分子结构

Fig.5 Intermolecular hydrogen bonding interaction and 3D supramolecular frameworks of 2 constructed by hydrogen bonds

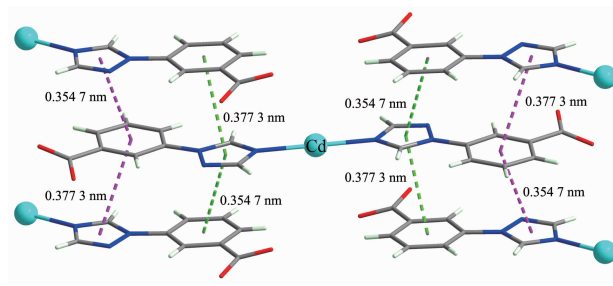


图6 配合物2分子间相邻芳香环之间的 π - π 相互作用

Fig.6 π - π interactions between adjacent aromatic fragments in complex 2

由配合物1和2的单晶结构还可以发现,配体H₂tta由于苯环邻位羧基的引入而产生较大位阻,导致苯环与三氮唑五元环通过C3-N1键发生大幅度扭转(二面角40.327°),二者之间的共轭程度较低。相比之下,配体Htba的苯环与三氮唑五元环几乎处于同一平面上(二面角3.972°),因此整个分子可视为一个大的共轭体系。配体H₂tta和Htba分子中苯环与三氮唑五元环的共面性不仅影响到配合物的配位模式,而且还会影晌到晶体在空间内堆积。

2.2 X射线粉末衍射

图7为配合物1和2的X射线粉末衍射图。通过对比可以发现,配合物1和2的X射线粉末衍射测试图样与它们的X射线单晶衍射数据模拟图样

一致(使用Mercury 3.3软件模拟),表明合成的配合物样品为纯相。

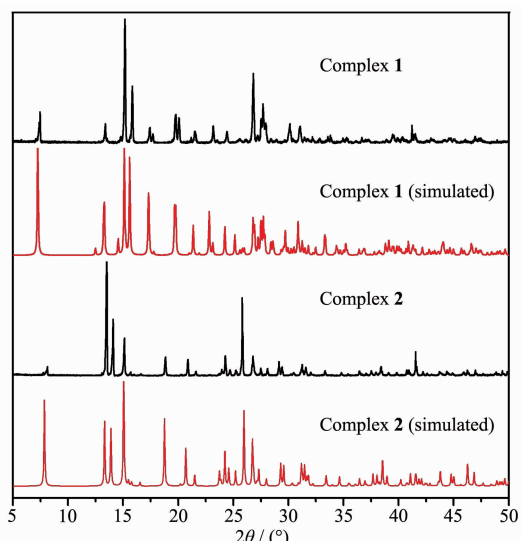


图7 配合物1和2的X射线粉末衍射图

Fig.7 PXRD patterns of complexes 1 and 2

2.3 红外和紫外光谱

配合物1和2的红外光谱见图8。由配合物1的红外光谱图可知,在3 150 cm⁻¹处中等强度的尖峰为苯环和三氮唑环的C-H伸缩振动吸收峰。位于1 630和1 553 cm⁻¹处2个强吸收峰为羧基的C=O不对称伸缩振动吸收峰^[12],分别对应配体分子上与三唑基团处于邻位的羧基(配位)和处于间位的羧基(未配位),而这2个羧基的对称振动吸收峰则分别位于1 410和1 340 cm⁻¹处。配合物2的红外光谱显示,苯环和三氮唑环的C-H伸缩振动吸收峰出现在3 117 cm⁻¹;羧基的不对称和对称伸缩振动吸收峰分别出现在1 558和1 364 cm⁻¹处。

以CH₃OH为溶剂在室温下对配体和配合物进行光谱扫描,结果见图9。如图9(a)所示,配体H₂tta

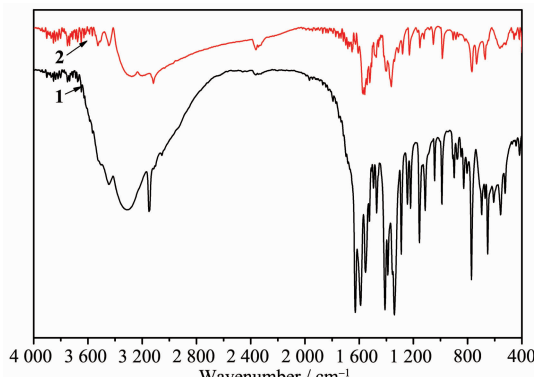


图8 配合物1和2的红外光谱图

Fig.8 IR spectra of complexes 1 and 2

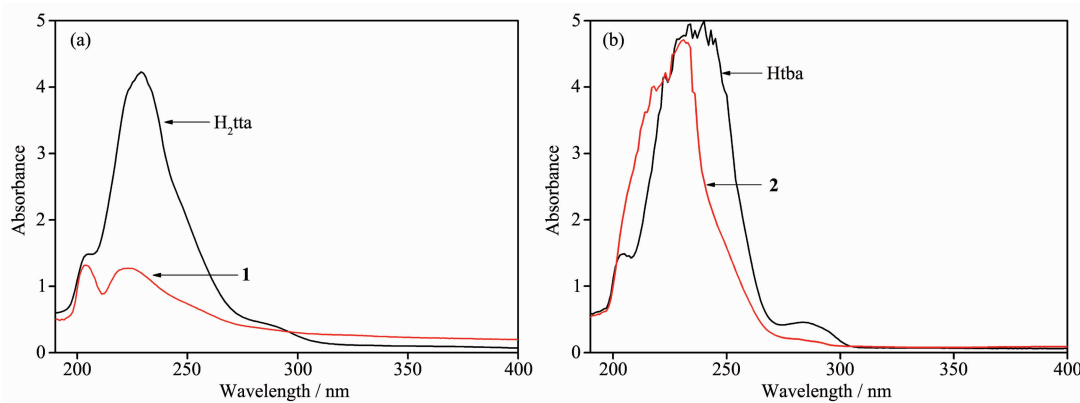


图9 配合物和配体的紫外吸收光谱

Fig.9 UV absorption spectra of the complexes and ligands

和配合物 $\mathbf{1}$ 都有位于204 nm处的吸收带，可归属为苯环的E₂带吸收峰^[21-22]；配体H₂tta位于229 nm的强吸收带可指认为苯环π→π*跃迁引起的K带吸收峰；然而，配合物 $\mathbf{1}$ 的K带吸收峰蓝移至223 nm处。另外，配体H₂tta在大约280 nm处有一个弱的吸收带，可能是由三氮唑基团C=N的n→π*跃迁引起的^[22]。配合物 $\mathbf{1}$ 在溶剂中的溶解度小是导致其吸收强度弱的一个重要因素。如图9(b)所示，配体Htba在240 nm处有一个强而宽的吸收带，可指认为苯环π→π*跃迁引起的K带吸收峰，在配合物 $\mathbf{2}$ 光谱中该吸收带蓝移至230 nm处。配体Htba在284 nm处还有一个弱的吸收带，可归属为三氮唑基团C=N的n→π*跃迁吸收峰，该吸收峰在配合物 $\mathbf{2}$ 的光谱中几乎消失，可能是由于N原子的n电子参与形成Cd-N配位键引起的。

2.4 荧光光谱

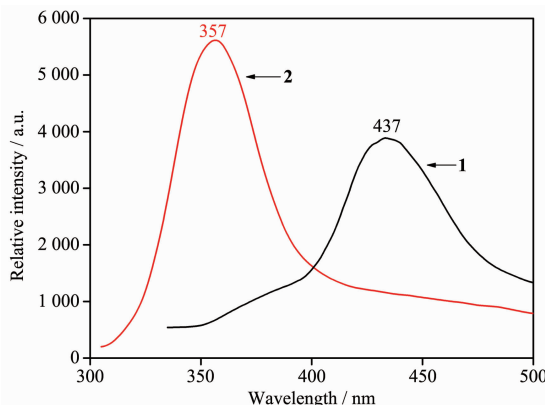
图10为室温下配合物 $\mathbf{1}$ 和 $\mathbf{2}$ 在固态时的荧光发射光谱。当激发波长为320 nm时，配合物 $\mathbf{1}$ 在

437 nm处有一个强的荧光发射峰；当激发波长为290 nm时，配合物 $\mathbf{2}$ 在357 nm处有最强的荧光发射峰。Cd(II)离子具有d¹⁰闭壳层电子结构，发生金属与配体之间荷移跃迁的概率很小^[16]。因此，配合物 $\mathbf{1}$ 和 $\mathbf{2}$ 的荧光发射光谱最有可能是配体内部芳环的π*→π电子跃迁导致的发光，这种现象在镉的配位聚合物中经常出现^[23-24]。

3 结论

以2-[1,2,4]-三唑对苯二甲酸(H₂tta)为桥联配体合成了一维配位聚合物{[Cd(Htta)₂(H₂O)₂]·2H₂O}_n($\mathbf{1}$)，配合物 $\mathbf{1}$ 的一维链继续通过分子间氢键构筑成三维网状结构；以3-[1,2,4]-三唑苯甲酸(Htba)为配体合成了零维配合物[Cd(tba)₂(H₂O)₄]($\mathbf{2}$)，配合物 $\mathbf{2}$ 通过分子间大量的O-H···O氢键和π-π相互作用组装成稳定的三维超分子结构。单晶结构显示，配体H₂tta分子中苯环与三唑五元环通过C3-N1键发生大幅度扭转，配体Htba分子中苯环与三唑五元环几乎处于同一平面。另外，还对配合物 $\mathbf{1}$ 和 $\mathbf{2}$ 的红外光谱、紫外光谱和荧光光谱性质进行了表征，配合物 $\mathbf{1}$ 和 $\mathbf{2}$ 分别在437和357 nm处有强的荧光发射峰。

参考文献：

图10 配合物 $\mathbf{1}$ 和 $\mathbf{2}$ 的固态荧光光谱Fig.10 Emission spectra for complexes $\mathbf{1}$ and $\mathbf{2}$ in the solid state

- [1] Du P Y, Su J, Lü Rui, et al. *Polyhedron*, **2016**, *115*:86-91
- [2] Furukawa H, Cordova K E, O'Keeffe M, et al. *Science*, **2013**, *341*(6149):1230444(14 pages)
- [3] Wang Y L, Fu J H, Wei J J, et al. *Cryst. Growth Des.*, **2012**, *12*:4663-4668
- [4] Chang H N, Liu Y G, Hao Z C, et al. *J. Inorg. Organomet. Polym.*, **2016**, *26*:855-863

- [5] Chen D Y, Zou J H, Li W X, et al. *Inorg. Chem. Commun.*, **2014**,**40**:35-38
- [6] Dojer B, Pevec A, Jaglicic Z, et al. *Inorg. Chim. Acta*, **2016**, **446**:124-131
- [7] Chai W X, Song L, Lin J, et al. *J. Inorg. Organomet. Polym.*, **2012**,**22**:1263-1270
- [8] WANG Jing-Lin(王璟琳), JIAO Yong(焦勇), YANG Bin-Sheng(杨斌盛). *Chinese J. Inorg. Chem.*(无机化学学报), **2014**,**30**(2):411-418
- [9] Mitra A, Clark R J, Hubley C T, et al. *Supramol. Chem.*, **2014**,**26**:296-301
- [10]Wang K M, Du L, Ma Y L, et al. *Transition Met. Chem.*, **2016**,**41**:573-580
- [11]He W, Wang B, Xue B. *Transit. Met. Chem.*, **2008**,**33**:399-403
- [12]Tan X W, Li C H, Chen Z H, et al. *Chin. J. Struct. Chem.*, **2016**,**35**:1967-1971
- [13]Du M, Li C P, Chen M, et al. *J. Am. Chem. Soc.*, **2014**,**136**:10906-10909
- [14]Mu Y H, Ge Z W, Li C P. *Inorg. Chem. Commun.*, **2014**,**48**:94-98
- [15]Li T, Liu X, Huang Z P, et al. *Inorg. Chem. Commun.*, **2014**, **39**:70-74
- [16]Roy B, Mukherjee S, Mukherjee P S. *CrystEngComm*, **2013**, **15**:9596-9602
- [17]Wen G L, Liu D F, Wang F W, et al. *J. Inorg. Organomet. Polym.*, **2016**,**26**:799-805
- [18]SMART, SAINT, and XPREP, Area Detector and Data Integration and Reduction Software, Bruker Analytical Instruments Inc., Madison WI, **1995**.
- [19]Sheldrick G M. *SHELXL-97, Program for X-ray Crystal Structure Solution*, University of Göttingen, Germany, **1997**.
- [20]Sheldrick G M. *Acta Crystallogr. Sect. A*, **2015**,**A71**:3-8
- [21]DONG Yu-Wei(董玉伟), FAN Rui-Qing(范瑞清), WANG Ping(王平), et al. *Spectrosc. Spectr. Anal.*(光谱学与光谱分析), **2013**,**33**(2):481-485
- [22]ZHAO Yao-Xing(赵瑶兴), SUN Xiang-Yu(孙祥玉). *Spectral Analysis of Organic Molecular Structure*(有机分子结构光谱鉴定). Beijing: Science Press, **2010**.
- [23]Singh R, Bharadwaj P K. *Cryst. Growth Des.*, **2013**,**13**:3722-3733
- [24]Wang K, Zou H H, Chen Z L, et al. *Dalton Trans.*, **2014**,**43**:12989-12995